

## 拓扑绝缘体及体边对应关系

- 目录
- 1. AB效应, 绝热演化, Berry Phase
  - 2. IQHE 与 Chern 数拓扑
  - 3. Lattice 中的拓扑: 二次量子化与紧束缚模型, Bloch 理论, 能带理论
  - 4. Lattice 中的拓扑: Wannier 局域化与  $\mathbb{Z}_2$  体边对应

## Chapter 1

AB 效应: 物理规范最早的  
可观测效应

$$H = \frac{1}{2m} (p - qA(r))^2 + V(r) + q\varphi$$

$$i\hbar \frac{\partial \psi_0}{\partial t} = H \psi_0$$

规范变换:  $\Lambda(r, t)$

$$A \rightarrow A + \nabla \Lambda$$

$$\varphi \rightarrow \varphi - \frac{\partial \Lambda}{\partial t}$$

在变换后解变成  $\psi' = \exp\left(\frac{iq\Lambda}{\hbar}\right) \psi_0$

因为  $[P_x, f(x)] = -i\hbar \partial_x f$

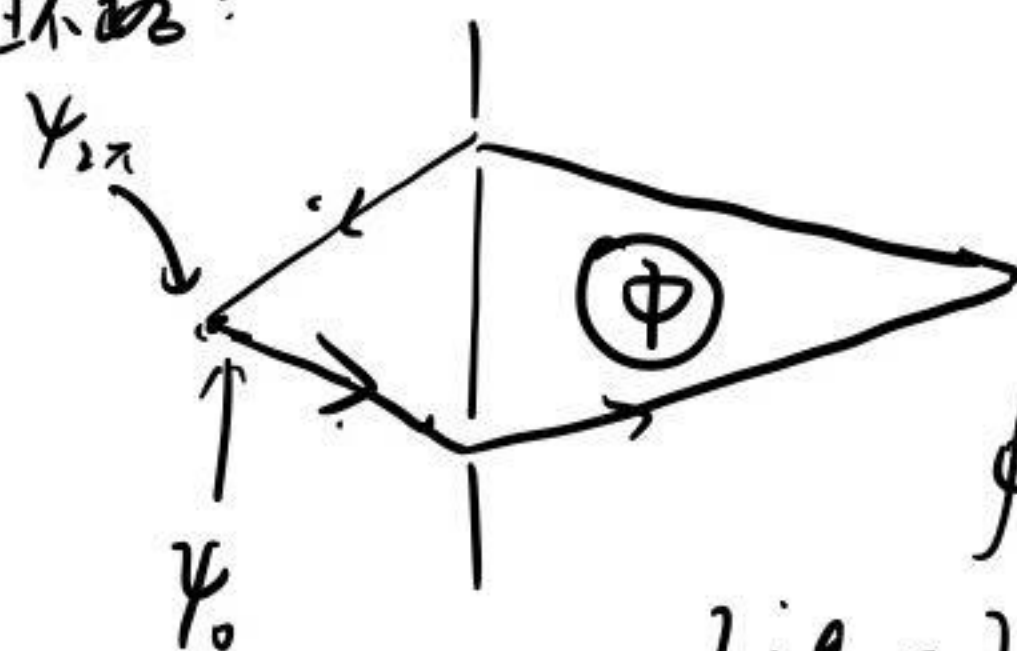
$$\Rightarrow (\hat{P} - qA - i\hbar \nabla \Lambda) \exp\left(\frac{iq\Lambda}{\hbar}\right)$$

$$= \exp\left(\frac{iq\Lambda}{\hbar}\right) (\hat{P} - qA)$$

$$\Rightarrow H' \psi' = i\hbar \partial_t \psi'$$

gauge transformation 后, 薛定谔方程不变

环路:



$$\oint A \cdot dr = \oint B \cdot ds = \Phi$$

$$\psi_{\text{final}} = \exp\left[\frac{iq}{\hbar} \Phi\right] \psi_0 \text{ 不会回到初态}$$

可由电子干涉实验验证

绝热演化:  $i\hbar \frac{\partial}{\partial t} |\psi\rangle = H(\lambda) |\psi\rangle$

$H$  中有缓变参数  $\lambda(t)$

瞬时本征态:

$$H(\lambda) |u(\lambda)\rangle = E_n(\lambda) |u(\lambda)\rangle$$

系统从  $|\psi(0)\rangle = |u(\lambda_0)\rangle$  开始

$$\rightarrow |\psi(t)\rangle = e^{i\gamma(t)} e^{-\int_0^t E_n(\lambda) dt} |u(\lambda)\rangle$$

代入演化方程  $\rightarrow \gamma(t) = \int_0^t dt \langle u(\lambda) | \partial_t | u(\lambda) \rangle$

$$= \int d\lambda \langle u(\lambda) | \partial_\lambda | u(\lambda) \rangle$$

$$= \int A_\lambda^\alpha d\lambda$$

$A_\lambda$ : 参数空间中的'矢量' (Berry 联络)

对于环路  $\oint A_\lambda^\alpha d\lambda = \iint \Omega_\lambda^\alpha dS$

$$\Omega_{\mu\nu}^\alpha = \nabla_\mu A_\nu^\alpha - \nabla_\nu A_\mu^\alpha$$

$$= i \left[ \langle \partial_\mu u_n | \partial_\nu u_n \rangle - \langle \partial_\nu u_n | \partial_\mu u_n \rangle \right]$$

称为 Berry 曲率

Additional: 对多占据态系统  
系统每一个占据能带均有贡献

$$A^{mn} = i \langle u^m | \nabla_\lambda | u^n \rangle \text{ 不再是 } U(1) \text{ 的}$$

称作 Non-Abelian

$$\gamma_c = \oint \text{Tr}(A) \cdot d\lambda \text{ 贝里联络}$$

$m, n \in \text{OCC 占据带}$

对于 AB 效应, 若缓变:

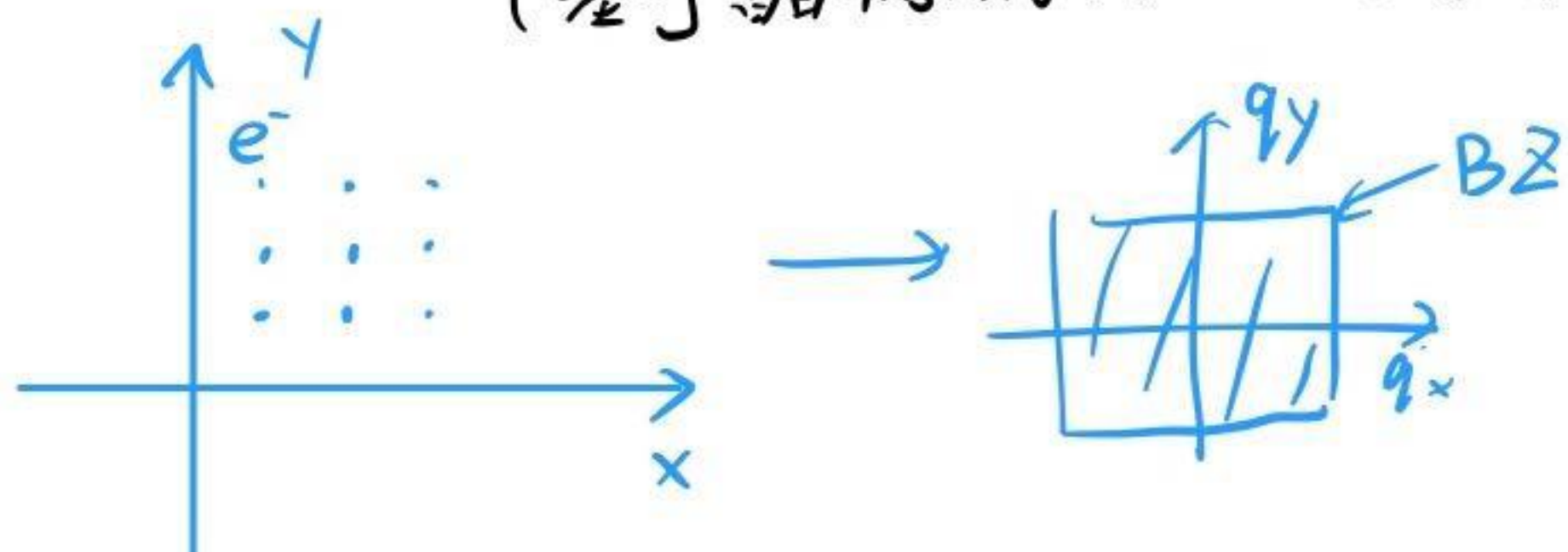
$$A = i \langle \psi' | \nabla \psi' \rangle = -\frac{q\bar{A}_m}{\hbar} \text{ 与磁矢量耦合起来}$$



# Chapter 2

## IQHE (Integer Quantum Hall Effect)

(基于晶格的动量空间导出)



给晶格加上电场  $E = -\frac{\partial A(t)}{\partial x}$

(不加静电场,  $\phi(r)$  破坏空间平移对称性)

在动量空间下,  $H(q) = \frac{\hbar^2(q + \frac{e}{\hbar}A(t))^2}{2m} + V(r)$

$q$  对应正则动量, 在磁场下为好量子数

$k = q + \frac{e}{\hbar}A(t)$  对应实际波矢

电子速度  $\hat{v} = \frac{1}{\hbar} \nabla_q H$

设有  $n$  个带初态本征态为  $|u_n(t)\rangle$

加入电场后  $\rightarrow$

$$|\psi(t)\rangle = \sum_n a_n(t) e^{-\frac{i}{\hbar} \int E_n(t) dt} |u_n(q,t)\rangle$$

$$H(t)|\psi(t)\rangle = i\hbar \frac{\partial}{\partial t} |\psi(t)\rangle$$

$$\sum_n E_n a_n(t) e^{-\frac{i}{\hbar} \int E_n(t) dt} |u_n(q,t)\rangle = \sum_n \dot{a}_n(t) e^{-\frac{i}{\hbar} \int E_n(t) dt} |u_n(q,t)\rangle + \sum_n a_n(t) E_n e^{-\frac{i}{\hbar} \int E_n(t) dt} |u_n(q,t)\rangle + \sum_n a_n(t) e^{-\frac{i}{\hbar} \int E_n(t) dt} \frac{\partial}{\partial t} |u_n(q,t)\rangle$$

$$\dot{a}_n = - \sum_m a_m(t) \langle u_n | \partial_t | u_m \rangle e^{-\frac{i}{\hbar} \int \frac{E_m - E_n}{\hbar} dt}$$

初始时, 电子处于第  $n$  个带.

$$a_n^{(0)} = \delta_{nn'}$$

$$\dot{a}_{n'} = - \langle u_{n'} | \partial_t | u_n \rangle e^{-\frac{i}{\hbar} \int \frac{E_n - E_{n'}}{\hbar} dt}$$

$$a_{n'} = - \frac{i\hbar \langle u_{n'} | \partial_t | u_n \rangle}{E_n - E_{n'}} e^{-\frac{i}{\hbar} \int \frac{E_n - E_{n'}}{\hbar} dt}$$

$$|\psi(t)\rangle = e^{-\frac{i}{\hbar} \int E_n dt} |u_n(q,t)\rangle - \sum_{m \neq n} \frac{i\hbar \langle u_m | \partial_t | u_n \rangle}{E_n - E_m} e^{-\frac{i}{\hbar} \int \frac{E_m - E_n}{\hbar} dt} |u_m(q,t)\rangle$$

$$\langle \hat{v}_n \rangle = \langle \psi(t) | \hat{v} | \psi(t) \rangle = \frac{\partial E_n(q)}{\hbar \partial q} - i \left[ \sum_{m \neq n} \frac{\langle u_n | \frac{\partial H}{\partial q} | u_m \rangle \langle u_m | \partial_t | u_n \rangle}{E_n - E_m} - h.c \right]$$

$$\begin{aligned} \text{又: } \langle u_n | \frac{\partial H}{\partial q} | u_m \rangle &= \left( \frac{\partial H}{\partial q} | u_n \rangle \right)^\dagger | u_m \rangle \\ &= (E_n | \nabla_q u_n \rangle - H | \nabla_q u_n \rangle)^\dagger | u_m \rangle \\ &= (E_n - E_m) \langle \nabla_q u_n | u_m \rangle \end{aligned}$$

$$\text{代入后利用 } \sum_{m \neq n} |u_m\rangle \langle u_m| = I - |u_n\rangle \langle u_n|$$

得到

$$\langle \hat{v}_n \rangle = \frac{\partial E_n(q)}{\hbar \partial q} - i \left[ \langle \nabla_q u_n | \partial_t | u_n \rangle - \langle \partial_t u_n | \nabla_q u_n \rangle \right]$$

$$= \frac{\partial E_n(q)}{\hbar \partial q} - \Omega_{qt}^n \quad \text{仅常速度}$$

$$\text{由 } \vec{k} = \vec{q} + \frac{e}{\hbar} \vec{A}(t)$$

$$\nabla_q = \nabla_k \cdot \frac{\partial \vec{k}}{\partial \vec{q}} = -\frac{e}{\hbar} \vec{E}(t) \nabla_k$$

$$\Rightarrow \vec{v}(k) = \frac{\partial E_n(k)}{\hbar \partial k} - \frac{e}{\hbar} \vec{E} \times (i \langle \nabla_k u_n | \times | \nabla_k u_n \rangle)$$

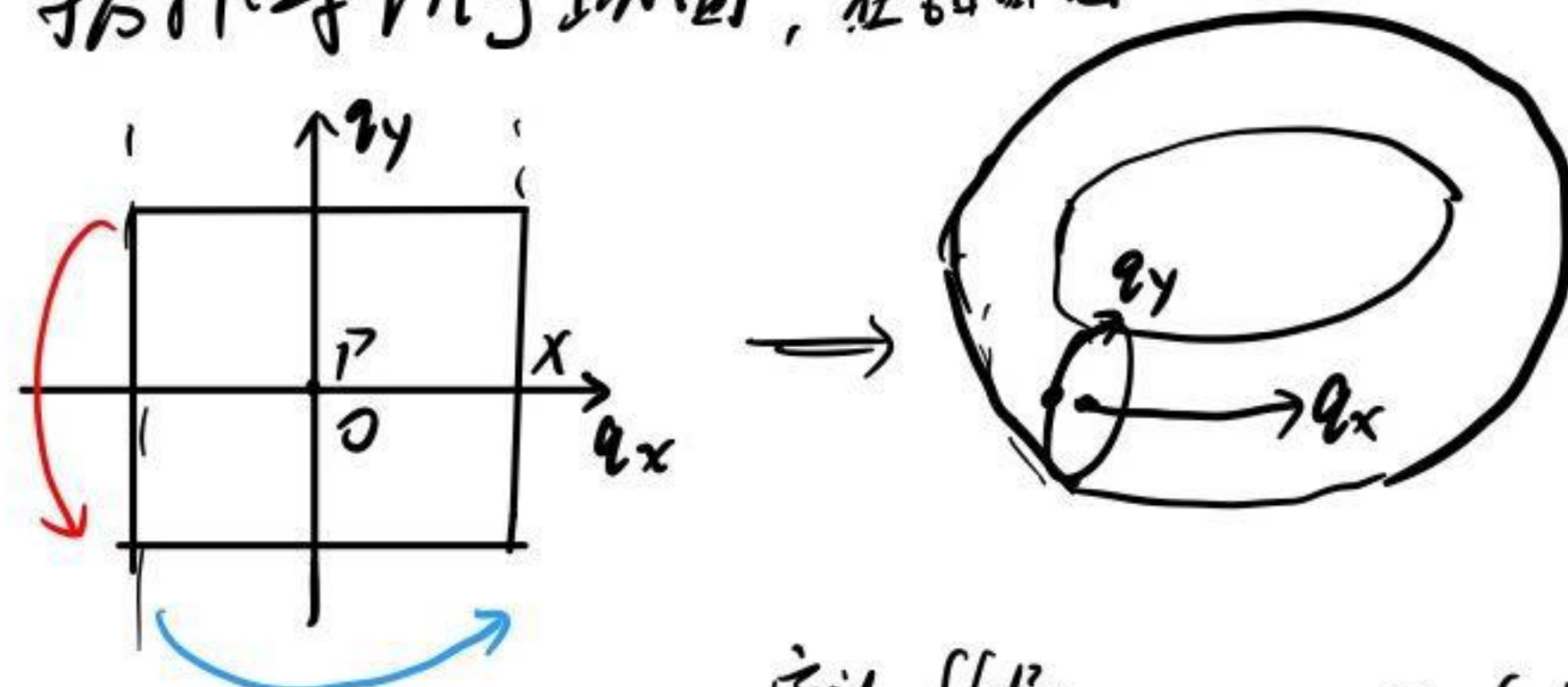
$$= \frac{\partial E_n(k)}{\hbar \partial k} - \frac{e}{\hbar} \vec{E} \times \vec{\Omega}^n \quad (\text{二阶反对称张量的对偶矢量})$$

计算电流密度需要考虑所有占据态的贡献:  
若  $\vec{E} = E_x \hat{x}$

$$j_y = \sum_{n \in \text{occ}} \sum_k -e v_y(k) = \frac{e^2}{\hbar} \sum_{n \in \text{occ}} \int_{BZ} \frac{d^2 k}{(2\pi)^2} \Omega(k) E_x$$

二维的 BZ 左右等价, 上下等价 (或  $\int \frac{d^2 k}{(2\pi)^2} \Omega(k)$ )

拓扑等价于环面, 在甜甜圈上积分.



$$\text{定义 } \int \frac{d^2 k}{(2\pi)^2} \Omega(k) = C \quad (\text{Chern number})$$

$$\sigma_H = \frac{j_y}{E_x} = \frac{e^2}{\hbar} \sum_{n \in \text{occ}} C_n$$

但需注意, 我们研究的是态规范相位的拓扑, 不是 BZ 的拓扑.



讨论

①  $\Omega(k)$  仅依赖于  $U_n(k)$ , 即能带拓扑与外加场无关, 对于一些无外场体系也可有此现象: **AQHE (晶格中的量子反常 Hall 效应)**

② Chern number  $\in \mathbb{Z}$ .  
对粒子的对称性无要求  
且体内的杂质不影响 Chern number 的存在

③  $\Omega(k)$  的对称性变换:

$$U(k) = \frac{1}{\hbar} \frac{\partial \mathcal{L}(k)}{\partial k} - \frac{e}{\hbar} \vec{E} \times \vec{r}(k)$$

空间反演下,  $\vec{v} \rightarrow -\vec{v}$ ,  $\vec{E} \rightarrow -\vec{E}$   
 $k \rightarrow -k$

时间反演下,  $\vec{v} \rightarrow -\vec{v}$ ,  $\vec{E} = \vec{E}$   
 $k \rightarrow -k$

这要求: 空间反演下  $\Omega(k) = -\Omega(-k)$

时间反演下  $\Omega(k) = \Omega(-k)$

当 T 与 P 均保证时,  $C=0$ .

说明此时在上方无法定义拓扑不变量.

存在  $\mathbb{Z}_2$  中寻找拓扑不变量

④  $\sum_{n \in \text{all}} \Omega(k) = 0$ . 说明拓扑物态是费米能以下基态的属性

## Chapter 3

Lattice 中的拓扑. 二次量子化

与紧束缚模型

二次量子化物理内涵:

$a_i^\dagger (a_i)$ : 第  $i$  个格点上生成(湮灭)一个粒子

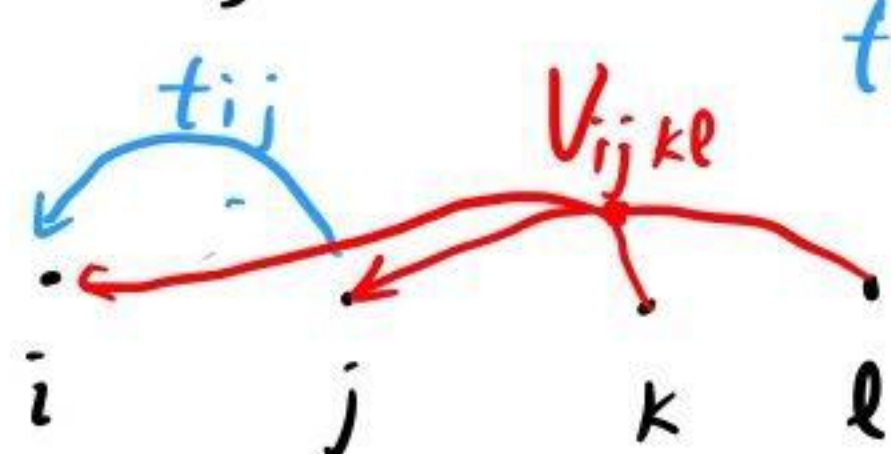
对易关系:  $[a_i, a_i^\dagger] = 1$ , 由于粒子被束缚在格点上它们是可分辨的, 玻色子与费米子没有区别

等效哈密顿量的表示:

$$H = \sum_{ij} t_{ij} a_i^\dagger a_j + \sum_{ijkl} V_{ijkl} a_i^\dagger a_j^\dagger a_k a_l$$

$t_{ij}$   $j \rightarrow i$  单体跳跃.

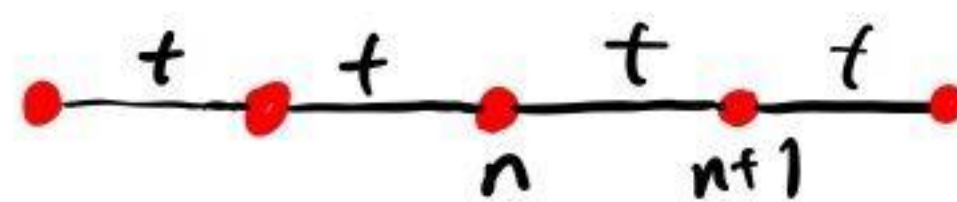
$V_{ijkl} (kl) \rightarrow (ij)$  二体跳跃



能带论量子假设: 仅考虑 单体跳跃相互作用

紧束缚模型: 仅考虑最近邻相互作用

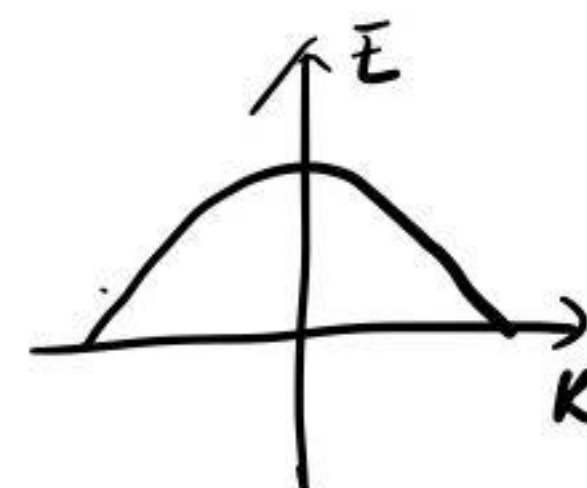
例: 1D 单原子链,  $N$  个原子.



$$H = t \sum_i a_{n+1}^\dagger a_n + h.c$$

离散傅里叶变换

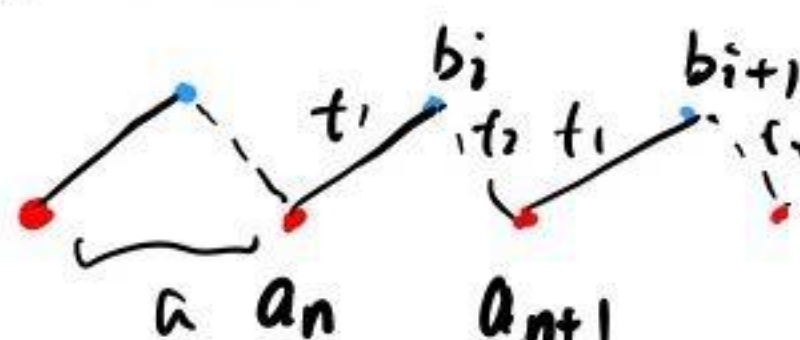
$$\begin{cases} a_k^\dagger = \frac{1}{\sqrt{N}} \sum_n a_n^\dagger e^{ikna} \\ a_n^\dagger = \frac{1}{\sqrt{N}} \sum_k a_k^\dagger e^{-ikna} \end{cases}$$



$$\Rightarrow H = \sum_k H(k) = \sum_k 2t \cos(ka) a_k^\dagger a_k$$

$H(k)$  本征值为  $2t \cos(ka)$ . 为单原子能带.

2. 1D 双原子链 (SSH 模型)

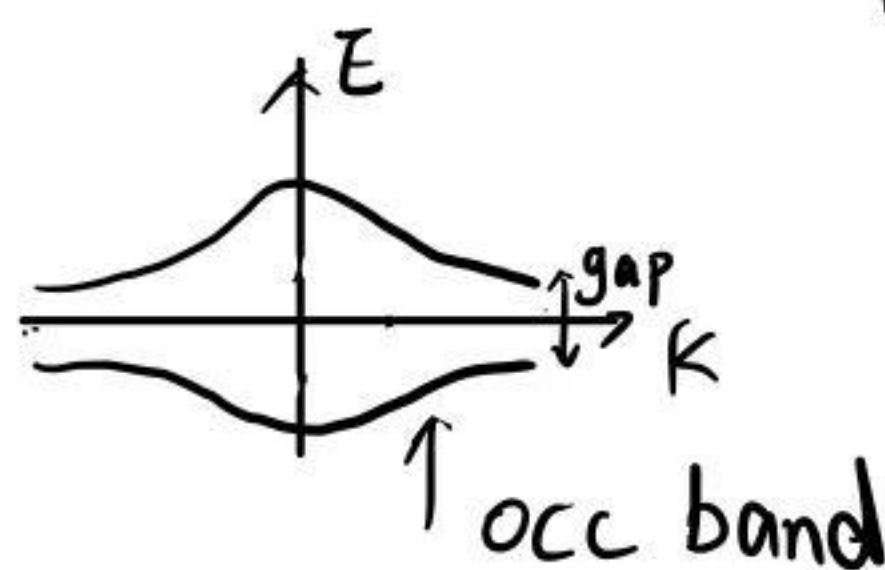


$$H = t_1 \sum a_n^\dagger b_n + t_2 \sum a_{n+1}^\dagger b_n + h.c$$

$$\text{代入 } a_n (b_n) = \frac{1}{\sqrt{N}} \sum_k a_k (b_k) e^{-ikna}$$

$$\text{有 } H = (a_k^\dagger, b_k^\dagger) \begin{pmatrix} 0 & t_1 + t_2 e^{ika} \\ t_1 + t_2 e^{-ika} & 0 \end{pmatrix} \begin{pmatrix} a_k \\ b_k \end{pmatrix}$$

$$\text{本征值 } E = \pm \sqrt{t_1^2 + t_2^2 + 2t_1 t_2 \cos(ka)}$$



一般地

$$H = \sum_k H(k) = \sum_k \sum_{\alpha, \beta} (c_{k\alpha}^\dagger h_{\alpha\beta}(k) c_{k\beta})$$

$\alpha, \beta \in N_{\text{orb}}$  代表一个原胞内的 sub-position

对  $h_{\alpha\beta}(k)$  对角化得到



$$h_{\alpha\beta}(k) = U^\dagger \begin{pmatrix} \epsilon_1 \\ \epsilon_2 \\ \vdots \end{pmatrix} U$$

$U = (u_1(k), u_2(k), \dots, u_{N_{\text{orb}}}(k))$  即为 Bloch 基.

引入能带产生湮灭算符

$$\gamma_p^\dagger(k) = \sum_\alpha u_p^*(k) c_{k\alpha}^\dagger$$

含义为生成一条占据能带

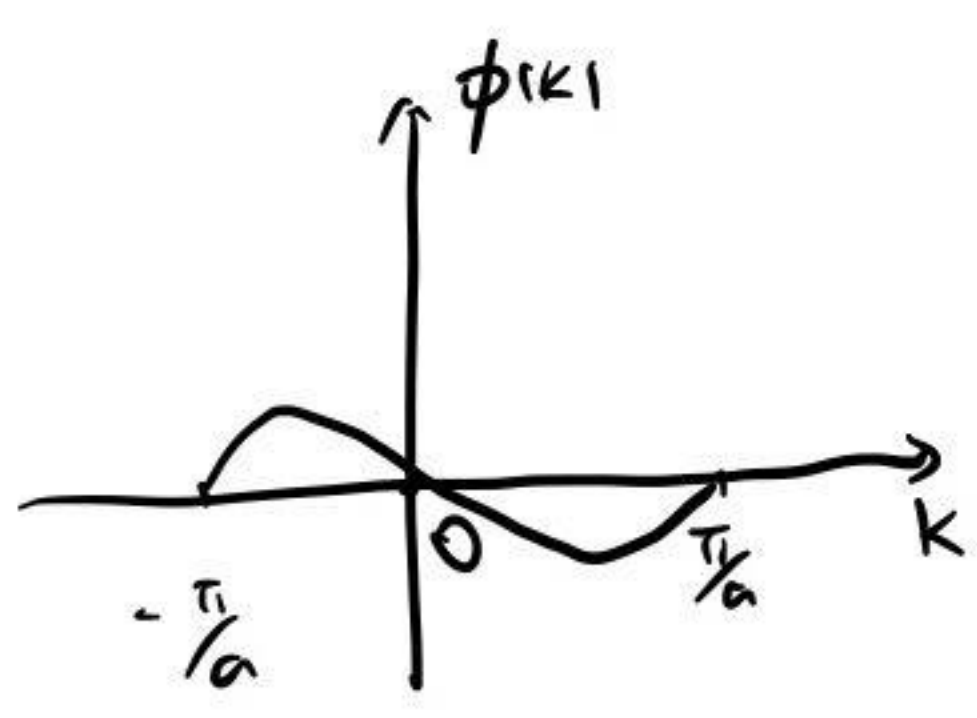
$$H(k) = \sum_p \epsilon_p(k) \gamma_p^\dagger(k) \gamma_p(k)$$

SSH 模型中的拓扑

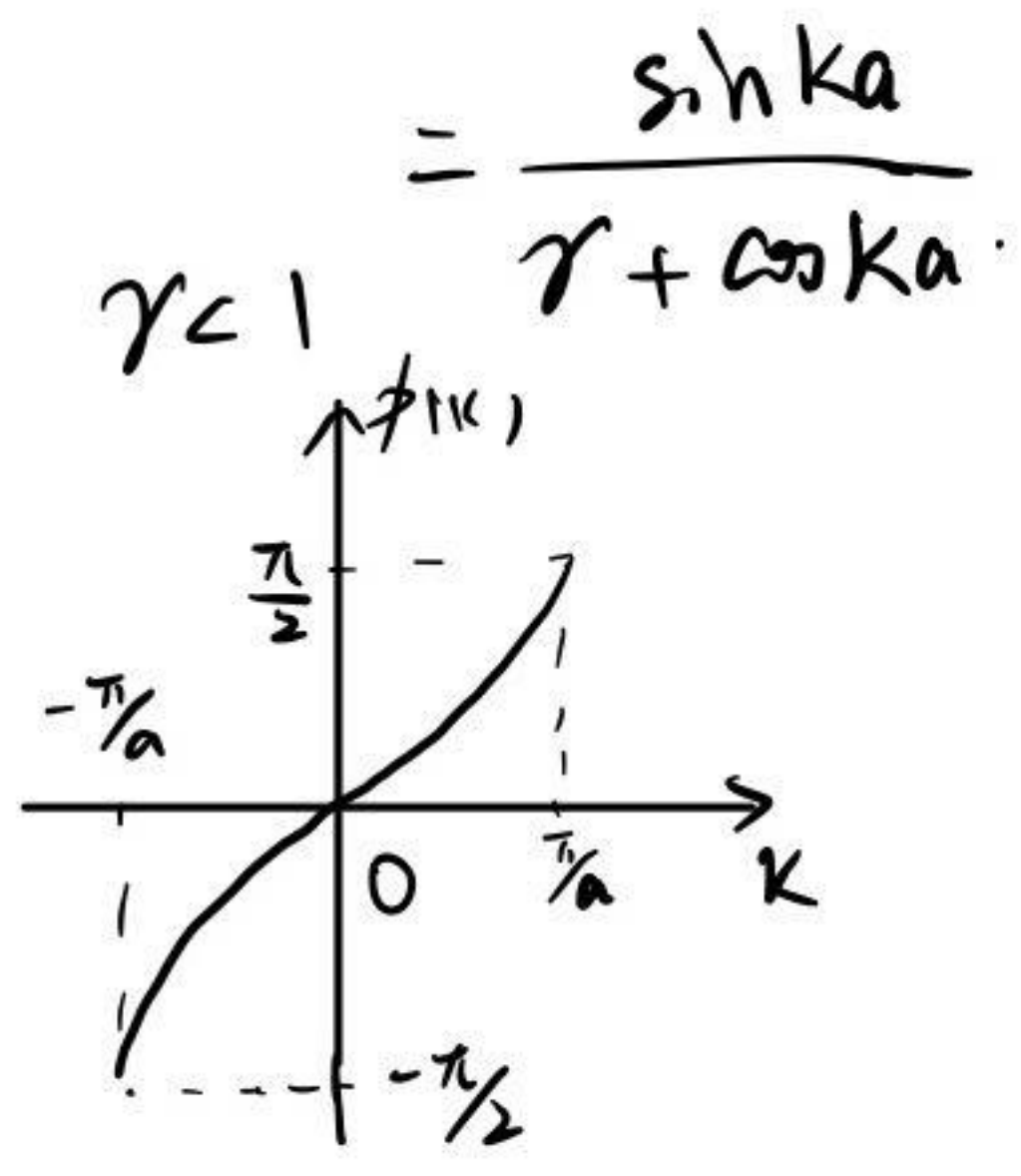
负能态对应的本征态

$$u_- = \frac{1}{\sqrt{2}} \begin{pmatrix} e^{i\phi(k)} \\ -1 \end{pmatrix}, \quad \tan \phi = \frac{t_2 \sinh k}{t_1 + t_2 \cosh k}$$

$\gamma > 1$



与拓扑的 Berry phase

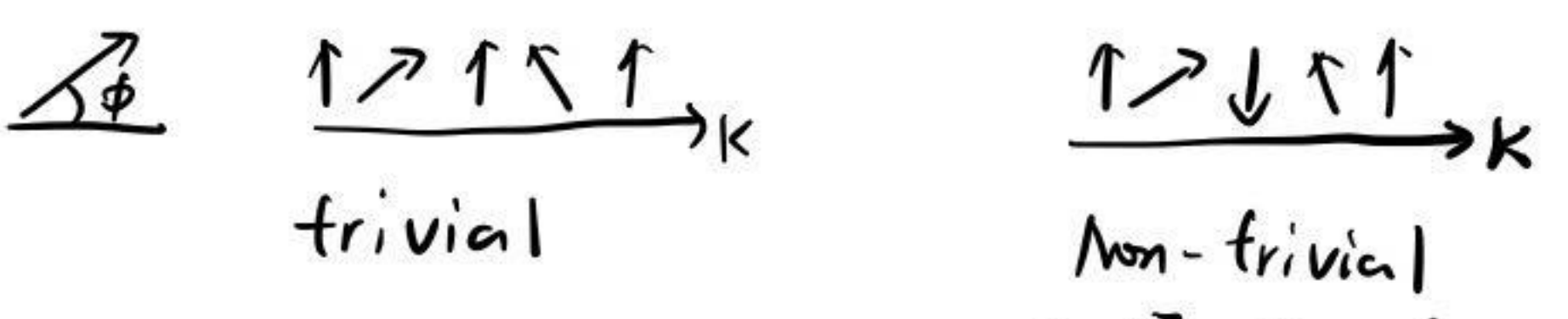


$$\gamma_c = \oint i \langle u_- | \partial_k | u_- \rangle dk$$

$$= 0$$

$$= \pi \text{ (Nontrivial)}$$

发现  $\gamma$  在跨越 1 时发生了拓扑相变



1D 模型中的拓扑不变量称为 Zak 相位

$$\gamma_{\text{Zak}} = \sum_{n \in \text{occ}} \oint_{\text{BZ}} i \langle u_n | \partial_k | u_n \rangle dk$$

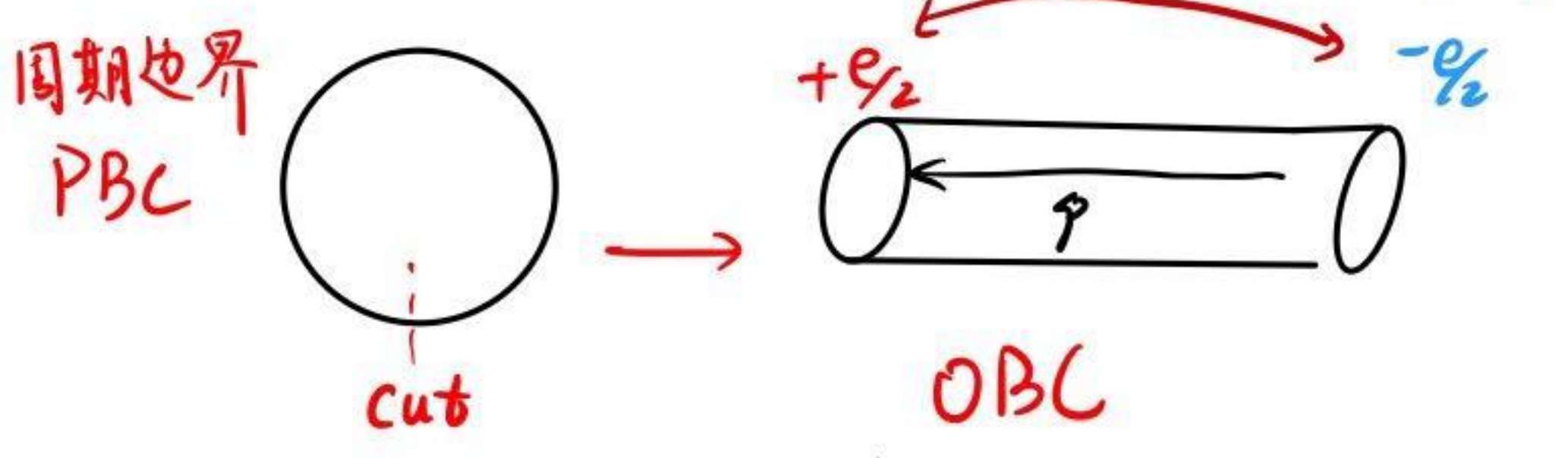
Berry phase 与极化

$$\hat{x} \rightarrow i \partial_k$$

$$\text{体偶极矩 } p = e \langle x \rangle_{\text{occ}} = \frac{e}{2\pi} \gamma_c$$

$$\gamma_c = 0, \pi \text{ 对应 } p = 0, e/2$$

体边对应: 当  $p$  非零时, 示如图:



对称性对  $p$  取值的限制

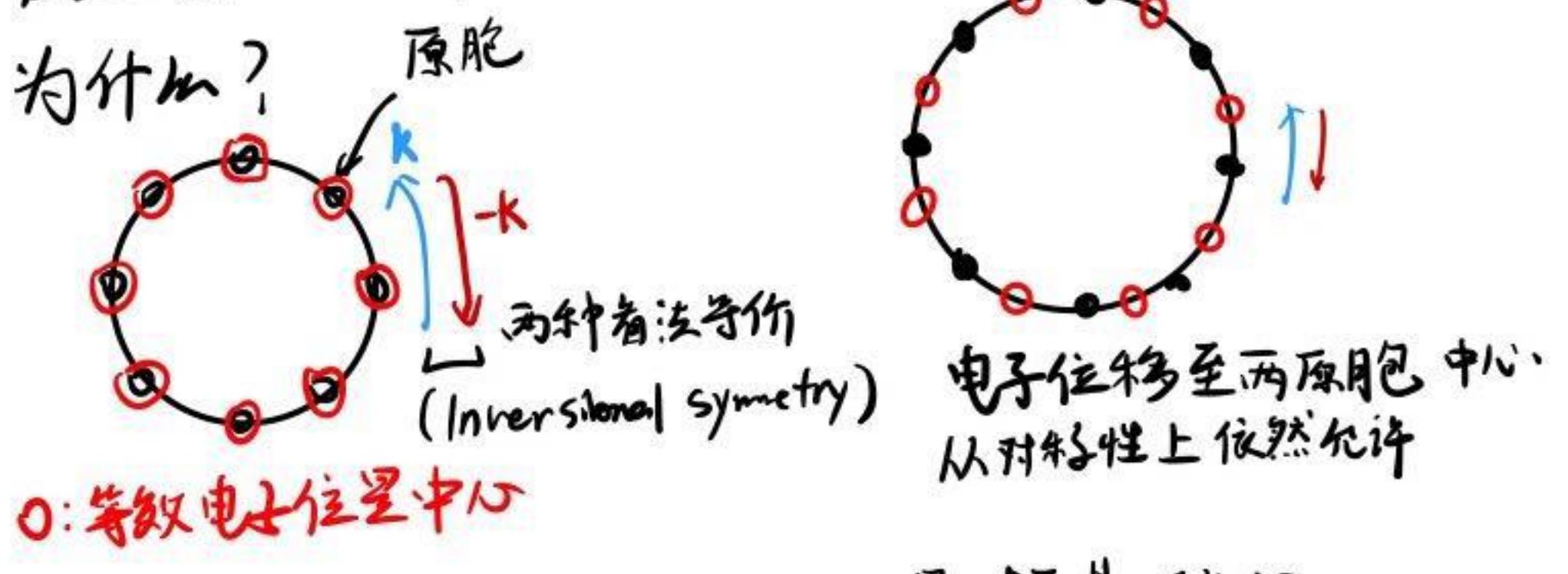
对于有时空对称性的体系,  $\Omega(k) \equiv 0, C \equiv 0$

$$\text{理解: } C = \int \frac{d^3k}{(2\pi)^3} \Omega(k)$$

形式上同构 Gauss 定理,  $C$  即为所围空间电荷  
对于对称性良好体系中不能存在

但是电偶极可以存在

为什么?



两种状态均是允许的, 但是拓扑不对称  
无法在不改变对称性下连续变换至彼此  
什么时候取 trivial, 什么时候 non-trivial?

(这种非 0 即  $\pi$  的拓扑数也称作  $\mathbb{Z}_2$  拓扑数)

一般针对受对称性限制体系

空间对称性要求

$$[H(k), p] = 0, \quad p^2 = 1, \quad (\text{对时间反演 } T^2 = -1)$$

在动量空间中对峙了

$$H(-k) = p H(k) p^{-1}$$

$$\begin{aligned} \rightarrow H(-k) p |u(k)\rangle &= p H(k) |u(k)\rangle \\ &= E(k) p |u(k)\rangle \end{aligned}$$

$$\Rightarrow E(k) = E(-k)$$

$$|u(k)\rangle = e^{-i\phi(k)} p |u(-k)\rangle$$



$$\lambda B_{ij}(k) = \langle u_i(-k) | \mathcal{P} | u_j(k) \rangle \quad i, j \in \text{OCC}$$

$$\text{在OCC子空间中} \cdot \sum_{i \in \text{OCC}} |u_i(k)\rangle \langle u_i(k)| = I_{N_{\text{occ}} \times N_{\text{occ}}}$$

$$B_{ij} B_{jk} = \langle u_i(-k) | u_k(k) \rangle = \delta_{ik}$$

故B是unitary的。

$$|u_i(-k)\rangle = B_{ij}^* \mathcal{P} |u_j(k)\rangle$$

对Non-Abelian 联络的作用

$$A^{mn}(-k) = i \langle u_m(-k) | \partial_k | u_n(-k) \rangle$$

$$= -i u_m^*(-k)_\alpha \partial_k u_n(-k)_\alpha$$

正交关系:  $B_{ij} B_{ik}^* = \delta_{jk}$

$$= -i B_{mi} \mathcal{P}_{\alpha\gamma}^* u_{i\gamma}^*(k) \partial_k (B_{nj}^* \mathcal{P}_{\alpha\beta} u_{j\beta}(k))$$

$$\mathcal{P}_{\alpha\beta}^* = \mathcal{P}_{\alpha\alpha}^* = \mathcal{P}_{\alpha\beta}$$

$$= -i B_{mi} \mathcal{P}_{\alpha\gamma}^* u_{i\gamma}^*(k) (\partial_k B_{nj}^*) \mathcal{P}_{\alpha\beta} u_{j\beta}(k)$$

$$-i B_{mi} \mathcal{P}_{\alpha\gamma}^* u_{i\gamma}^*(k) B_{jn}^* \mathcal{P}_{\alpha\beta} \partial_k u_{j\beta}(k)$$

$$= -B \nabla_k B^\dagger - B A^{mn}(k) B^\dagger$$

对单带情况 (Abelian)

$$A(-k) = -\text{Tr}(B \nabla_k B^\dagger) = A(k)$$

$$\mathcal{P}_1 = \frac{e}{2\pi} \int_{BZ} A_{0\gamma} dk$$

$$= \frac{e}{2\pi} \int_0^\pi A(k) + A(-k) dk$$

$$= -\frac{e}{2\pi} \int_0^\pi \text{Tr}(B \nabla_k B^\dagger) dk$$

由于对VQ

$$\det e^Q = e^{\text{tr} Q} \quad \text{tr} Q = \log \det e^Q$$

$$\text{Tr}(B \nabla_k B^\dagger) = -\nabla_k \log \det B$$

$$\mathcal{P}_1 = \frac{e}{2\pi} (\log(\det B(\pi)) - \log(\det B(0))) \pmod{e}$$

$$\text{注意: } H(-k) = \mathcal{P} H(k) \mathcal{P}^{-1}$$

当k位于BZ高对称点  $\Gamma_i$  时

$$-\frac{\Gamma_i}{2} = \frac{\Gamma_i}{2} + nG_i \quad k = -k$$

$$H(\Gamma_i) = \mathcal{P} H(\Gamma_i) \mathcal{P}^{-1}$$

$$\text{此时 } [H, \mathcal{P}] = 0$$

H与P有共同本征函数

$$\mathcal{P} |u_i(\Gamma_i)\rangle$$

$$= \pm 1 |u_i(\Gamma_i)\rangle$$

对于B矩阵, 在  $\Gamma$  点处

它是对角的

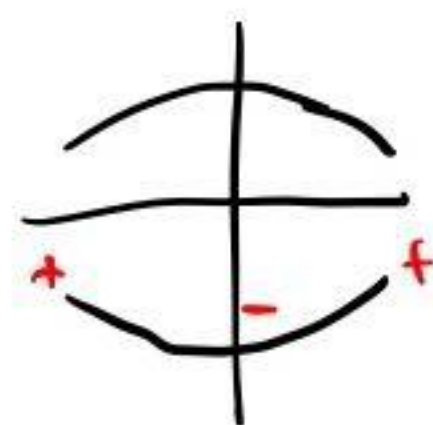
$$B_{ij}(\Gamma) = \langle u_i(\Gamma) | \mathcal{P} | u_j(\Gamma) \rangle = \boxed{\pm 1} \delta_{ij}$$

$$\det(B(\Gamma)) = \prod_{i \in \text{OCC}} \mathcal{P}_i(\Gamma) \quad \mathcal{P}_i(\Gamma) \text{ 为 } \mathcal{P} \text{ 的特征值}$$

对于1D BZ, 高对称点即为  $\Gamma=0, \pi (\frac{\pi}{a}, a=1)$  处

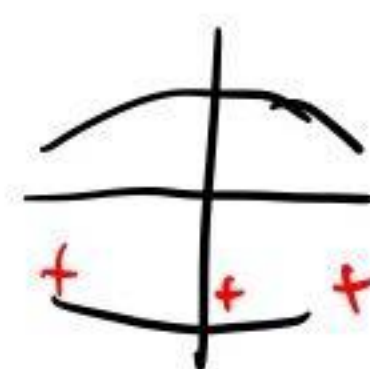
$$\text{故 } \mathcal{P}_1 = \frac{e}{2\pi} (\det B(0) - \det B(\pi))$$

对SSH模型: 示意图



$\gamma < 1$

nontrivial



$\gamma > 1$

trivial

由此发现仅根据占据态高对称点的对称操作特征值即可判定一个带的  $\mathbb{Z}_2$  拓扑贡献

Chapter 4: 更广泛应用的理论 (对满带绝缘体)

Wannier 带与 Wilson Loop 方法

研究系综的电极化, 即研究电子的等效位置中心。

考虑占据态算符  $P_{\text{occ}} \hat{x} P_{\text{occ}}$

$P_{\text{occ}}$  为占据带投影算符

$$P_{\text{occ}} = \sum_{n \in \text{OCC}} \sum_K \gamma_{n,k}^+ |0\rangle \langle 0| \gamma_{n,k}$$

$$\hat{x} = \sum_{R,\alpha} e^{-i\Delta_k(R+r_\alpha)} C_{R\alpha}^+ |0\rangle \langle 0| C_{R\alpha}$$

$r_\alpha$ : 原胞内坐标。

这样定义  $\hat{x}$  是因为PBC下坐标不好定义。

只好用相位进行代替, 设晶格常数为1

$$\Delta_k = \frac{2\pi}{N} \quad R = 1, 2, \dots, N-1$$



利用  $C_{k\alpha}^\dagger = \frac{1}{\sqrt{N}} \sum_R e^{-ik(R+r_\alpha)} C_{R\alpha}^\dagger$   
 $C_{R\alpha}^\dagger = \frac{1}{\sqrt{N}} \sum_K e^{ik(R+r_\alpha)} C_{k\alpha}^\dagger$

$$\Rightarrow \hat{X} = \sum_{K,\alpha} C_{K+\Delta K,\alpha}^\dagger |0\rangle \langle 0| C_{K,\alpha}$$

$$\Rightarrow P_{occ} \hat{X} P_{occ} = \sum_{m \in occ} \sum_{n \in occ} \sum_K \sum_{K'} \sum_{\alpha} \left\{ \gamma_{m,K}^\dagger |0\rangle \langle 0| \gamma_{n,K'} \right.$$

$$\left. C_{K+\Delta K,\alpha}^\dagger |0\rangle \langle 0| C_{K,\alpha} \gamma_{n,K}^\dagger |0\rangle \langle 0| \gamma_{n,K} \right.$$

利用关系  $\gamma_{nK}^\dagger = \sum_{\alpha} u_{K\alpha}^{n*} C_{K\alpha}^\dagger$

$$(P_{occ} \hat{X} P_{occ}) = \sum_{m,n} \sum_K \sum_{\alpha} \gamma_{m,K+\Delta K}^\dagger |0\rangle \langle 0| \gamma_{n,K} u_{K+\Delta K,\alpha}^{m*} u_{K,\alpha}^n \langle 0| \gamma_{n,K}$$

$$= \sum_{m,n} \sum_K \gamma_{m,K+\Delta K}^\dagger |0\rangle \langle 0| \gamma_{n,K} \langle u_{K+\Delta K}^m | u_K^n \rangle$$

设  $\hat{X} = P_{occ} \hat{X} P_{occ}$  的本征态为  $|\psi_R^j\rangle$ , 本征值  $E_j$

$$j \in 1, 2, \dots, N_{occ}$$

$$|\psi_R^j\rangle = \frac{1}{\sqrt{N}} \sum_K \sum_n v_{j,K}^n e^{-ikR} \gamma_{nK}^\dagger |0\rangle$$

$$(P_{occ} \hat{X} P_{occ}) |\psi_R^j\rangle$$

$$= \sum_{m,n}^{N_{occ}} \langle u_{K+\Delta K}^m | u_K^n \rangle v_{j,K}^n \gamma_{m,K+\Delta K}^\dagger |0\rangle$$

$$= E_j \cdot \sum_K \sum_m v_{j,K+\Delta K}^m \gamma_{m,K+\Delta K}^\dagger |0\rangle$$

$$= E_j |\psi_R^j\rangle$$

左乘  $\langle 0| \gamma_{m,K+\Delta K}$ , 有

$$\Rightarrow \sum_n \langle u_{K+\Delta K}^m | u_K^n \rangle v_{j,K}^n = E_j v_{j,K+\Delta K}^m$$

记  $[F_K]_{mn} = \langle u_{K+\Delta K}^m | u_K^n \rangle$  则得到递推

$$F_K |\psi_K^j\rangle = E_j |\psi_{K+\Delta K}^j\rangle$$

设  $|\psi_K^j\rangle = \begin{pmatrix} v_{j,K}^1 \\ v_{j,K}^2 \\ \vdots \end{pmatrix}_K$  注意到BZ周期性

构造 Wilson Loop

$$W = F_K F_{K+\Delta K} \dots F_{K+(N-1)\Delta K}$$

由于  $W^\dagger = W$  逆向则  $WW^\dagger = I$ , 它是酉的.

$$W |\psi_K^j\rangle = (E_j)^N |\psi_K^j\rangle$$

$$(E_j)^N = e^{i2\pi \nu_j}$$

$$\Rightarrow E_j = e^{i \frac{2\pi}{N} (R + \nu_j)} = e^{i \Delta K (R + \nu_j)}$$

$$R = 1, 2, \dots, N-1$$

Wannier 正交性

$$\langle \psi_R^i | \psi_{R'}^j \rangle = \delta_{ij, RR'}$$

Wilson Loop 与 极化

对于占据着  $N_{occ}$  带的电子.

每个带贡献一个  $P_{\nu_i} = \nu_i$

$$P = \sum \nu_i = -\frac{i}{2\pi} \log \det(W)$$

$$\text{当 } N \rightarrow \infty \text{ 时 } [F_K]_{mn} = \langle u_{K+\Delta K}^m | u_K^n \rangle$$

$$= \delta_{mn} + \Delta K \cdot \langle \partial_K u_K^m | u_K^n \rangle$$

$$A^{mn} = \langle u_K^m | \partial_K u_K^n \rangle = \delta_{mn} - \Delta K \langle u_K^m | \partial_K u_K^n \rangle$$

$$= \delta_{mn} + i dk \cdot A^{mn}$$

$N \rightarrow \infty$  时 -

$$W = \exp \left( i \int_{BZ} \text{Tr} A_k dk \right)$$

$$\mathcal{P} = \frac{1}{2\pi} \int_{BZ} \text{Tr} A_k dk \quad \text{严格导出了相化公式}$$

什么时候 trivial, non-trivial

事实上 Chapter 3 的内容总是适用的

$$A(D_g k) = -A(k) - B \nabla_k B^\dagger \quad B_{ij} = \langle u_{gk}^i | D_g | w_k^j \rangle$$

其中  $D_g \cong \mathbb{Z}_2$ , 将  $BZ$  分为两个不等价部分

$$\text{则 } \mathcal{P} = \frac{1}{2\pi} \int_{\frac{1}{2}BZ} \text{Tr} (A(D_g k) + A(k)) dk$$

$$= \frac{1}{2\pi} \int_{\frac{1}{2}BZ} \text{Tr} (B \nabla_k B^\dagger)$$